

# تعیین خصوصیات سینتیکی و ترمودینامیکی برگ شوید در طی خشک کردن همرفتی

\*<sup>۱</sup>فاطمه نادی

۱- باشگاه پژوهشگران جوان و نخبگان، واحد آزادشهر، دانشگاه آزاد اسلامی، آزادشهر، ایران

(تاریخ دریافت: ۹۶/۰۲/۱۲ تاریخ پذیرش: ۹۶/۰۴/۲۱)

## چکیده

طراحی ادوات و تجهیزات خشک کردن نیازمند دانش صحیحی از خصوصیات سینتیکی و ترمودینامیکی محصولات کشاورزی است، به علاوه این خصوصیات برای محاسبه انرژی مورد نیاز فرآیند خشک کردن، خصوصیات آب جذب شده، پدیده‌های فیزیکی که در سطح غذا اتفاق می‌افتد و ارزیابی ریزاساختار مواد غذایی حائز اهمیت هستند. از آنجا که تا کنون گزارشی راجع به خصوصیات ترمودینامیکی برگ شوید یافت نشده است، هدف از این تحقیق یافتن مدل ریاضی مناسب توصیف فرآیند تجربی خشک کردن برگ شوید، برای ارزیابی ضریب نفوذ، به دست آوردن انرژی فعال‌سازی جهت تعیین خواص ترمودینامیکی برگ شوید در دمای مختلف فرآیند خشک کردن است. ویژگی‌های رنگی به عنوان یکی از شاخص‌های مهم کیفیت مواد غذایی و بازارپسندی ارزیابی شد. برگ‌های شوید با محتوی رطوبت اولیه ۶/۱۸۵ g (کیلوگرم آب/کیلوگرم ماده خشک)، در یک خشک‌کن هوای داغ در چهار دمای (۵۰، ۶۰، ۷۰ و ۸۰°C) تا رسیدن به محتوی رطوبتی ۰/۰۷۵ (کیلوگرم آب/کیلوگرم ماده خشک) خشک شدند. بهترین مدل برای توصیف فرآیند خشک کردن برگ شوید مدل میدیلی انتخاب شد. ضریب نفوذ موثر برگ شوید با افزایش دمای هوای خشک‌کن افزایش یافت. انرژی فعال‌سازی برای نفوذ مایع در خشک کردن برگ شوید ۴۲/۲۹ kJ mol<sup>-1</sup> به دست آمد. آنتالپی و آنتروپی با افزایش دمای خشک کردن کاهش در حالیکه انرژی آزاد گیس افزایش یافت. مقدار آنتالپی بین ۳۹/۳۵ تا ۳۹/۶۰ kJ mol<sup>-1</sup> و مقدار آنتروپی بین ۰/۳۰۷۹ تا ۰/۲۹۲۷ kJ mol<sup>-1</sup> و مقدار انرژی آزاد گیس بین ۱۳۸/۹۶ تا ۱۴۲/۴۶ kJ mol<sup>-1</sup> تغییر کرد. نتایج پارامترهای رنگ نشان داد که با خشک کردن برگ شوید روش‌نایی، زردی و سبزی کاهش یافت و خشک کردن در دمای ۶۰°C منجر به کمترین تغییر رنگ شد.

**کلید واژگان:** خصوصیات ترمودینامیکی، خشک کردن همرفتی، آنتالپی، آنتروپی، انرژی آزاد گیس، تغییر رنگ، شوید.

## ترمودینامیکی شامل انرژی آزاد گیبس، آنتالپی و آنتروپی نسبت داده می‌شود<sup>[۱۳]</sup>.

مطالعه فرآیند خشک کردن اطلاعاتی راجع به انتقال جرم و حرارت بین مواد بیولوژیکی و محیط خشک کردن فراهم می‌آورد که برای طراحی، عملیات و شبیه‌سازی خشک‌کن‌ها مهم می‌باشدند<sup>[۱۴]</sup>. مدل‌های ریاضی برای پیش‌بینی و شبیه‌سازی رفتار مواد در صنعت خشک کردن برای طراحی تجهیزات فرآیند تولید حائز اهمیت هستند. تعیین بهترین مدل بر اساس منحنی‌های خشک کردن صورت می‌گیرد. این منحنی‌ها با توجه به محتوی رطوبتی نهایی، برای تنظیم زمان خشک کردن در این صنعت قابل توجه می‌باشند<sup>[۱۵]</sup>.

دانش خصوصیات ترمودینامیکی شامل آنتالپی ( $\Delta H$ )، آنتروپی ( $\Delta S$ ) و انرژی آزاد گیبس ( $\Delta G$ )، اطلاعات مفیدی برای طراحی تجهیزات خشک کردن، محاسبه انرژی مورد نیاز فرآیند خشک کردن، خصوصیات آب جذب شده، ازربابی میکروساختار غذا و تعیین پارامترهای سیستیک جذب فراهم می‌کند<sup>[۱۶]</sup>. آنتالپی اختلاف انرژی پیوندی بین مولکول‌های آب و ترکیبات مخصوص را در طی فرآیند می‌دهد. اطلاعاتی که آنتالپی درباره انرژی مورد نیاز فرآیند می‌دهد که در مدل‌سازی فرآیندهای صنعت غذا ضروری هستند<sup>[۱۷، ۱۸]</sup>. آنتروپی تحرک مولکول‌های آب را در ماده غذایی ارزیابی می‌کند و نشان‌دهنده سطح فعل و افعال آب و ماده غذایی است<sup>[۲۰]</sup>. امکان‌پذیری انجام یک واکنش شیمیایی (در طی فرآیند خشک کردن تبخیر آب) با اندازه‌گیری تغییرات انرژی آزاد گیستیعین می‌شود<sup>[۲۱]</sup>. مطابق با تلیس و همکاران<sup>[۲۲]</sup> انرژی آزاد گیبس نشان‌دهنده میل مواد غذایی به آب است و معیاری است که نشان می‌دهد آیا جذب آب به عنوان یک فرآیند خود به خودی اتفاق می‌افتد.

مطالعات مختلفی روی خصوصیات ترمودینامیکی از قبیل آنتالپی، آنتروپی و انرژی آزاد گیبس برای محصولات مختلف از قبیل ذرت<sup>[۲۳]</sup>، میوه چیا<sup>[۲۴]</sup>، شاتوت<sup>[۲۵]</sup>، سویا<sup>[۲۶]</sup>، برنج<sup>[۲۷]</sup>، فلفل<sup>[۲۸]</sup>، انگور برزیلی<sup>[۲۹]</sup> و میوه پکوئی<sup>[۳۰]</sup> گزارش شده است.

با توجه به آنچه گفته شد و اهمیت دانش نظری فرآیند خشک کردن محصولات کشاورزی، و از آنجا که گزارشی راجع به خصوصیات ترمودینامیکی شوید موجود نیستاین کار با هدف

## ۱- مقدمه

با ظهور داروهای شیمیایی و بیولوژیک نقش و اهمیت گیاهان دارویی در تأمین سلامت بشر، در معرض فراموشی قرار گرفت. مقایسه مصرف داروهای شیمیایی و گیاهی نشان می‌دهد که داروهای شیمیایی ضمن ایجاد اثرات خوب دارای عوارض جانبی بوده‌اند که بعضی از عوارض آنها تا آخر عمر باقی می‌ماند و حتی در بعضی موارد به نسل بعدی منتقل می‌شوند، در صورتی که عوارض داروهای گیاهی کمتر است و در خیلی موارد بدون عارضه می‌باشند<sup>[۱]</sup>. بنابراین بشر از واخر قرن بیستم رویکردی مثبت به سمت جایگزین کردن فرآوردهای دارویی گیاهان به جای داروهای شیمیایی داشته است<sup>[۱، ۲]</sup> و به‌همین دلیل استفاده از توامندهای طب سنتی به‌منظور توسعه سلامتی و بهداشت برای سیاستگذاران سیستم بهداشتی در رهنمودهای سازمان جهانی بهداشت مورد تأکید قرار گرفته است<sup>[۳]</sup>. در حال حاضر حدود پنجاه درصد از داروهای تولید شده در جهان منشأ طبیعی دارند که با تغییراتی به عنوان دارو مورد استفاده قرار می‌گیرند<sup>[۴]</sup>. طب سنتی در ایران دارای تاریخچه کهن است و تنوع پرورش گیاهی در ایران، دستیابی به انواع گیاهان دارویی را سهل و آسان کرده است. یکی از این داروهای گیاهی شوید است. شوید<sup>[۵]</sup> (Anethum graveolens) از خانواده چتریان(Umbrelliferae) گیاهی است یک ساله که میوه آن تخم مرغی شکل با کناره‌های بال مانند به رنگ زرد روشن است<sup>[۵]</sup>. برای شوید اثرات فارماکولوژی<sup>۱</sup> متعددی همانند اثرات ضد افزایش چربی خون<sup>[۹-۶]</sup>، فعالیت ضد میکروبی<sup>[۱۰، ۱۱]</sup>، اثر ضد نفخ و آنتی اسپاسمودیک<sup>[۱۲]</sup> مطرح شده است.

در سال‌های اخیر حالت آمورف اقلام دارویی به‌علت افزایش حلایلت و توانایی فراهمی زیستی<sup>۲</sup> بالاتر در مقایسه با حالت بلورین به‌شدت مورد توجه قرار گرفته است. حالت آمورف داروها که توسط روش‌های مختلف آماده شده است، خصوصیات فیزیکوشیمیایی و پایداری متفاوتی را نشان می‌دهد. خواص مورد نظر حالت آمورف به خواص

۱. دانشی که به بررسی منشأ و ماهیت شیمیایی داروهای، ویژگی‌ها و اثر آنها بر موجودات زنده می‌پردازد، داروشناسی.

۲. فراهمی زیستی یا زیست فراهمی درصدی از داروی اسم است که در گردش خون وارد می‌گردد.

که جرم جامد خشک ( $S_s$  کیلوگرم)، A مساحت سطح نمونه (متر مربع)، و X محتوی رطوبتی (کیلوگرم آب بر کیلوگرم ماده خشک) در هر زمان t است. در طی خشک شدن چون تغییر مساحت سطح در مقایسه با تغییر ضخامت ناچیز بود، از تغییر در مساحت سطح صرف نظر شد.

به لحاظ ریاضی انتقال جرم از یک ماده غذایی به هوای داغ قابل مقایسه با جریان گرما از یک جسم داغ غوطه‌ور در یک سیال سرد است که از قانون سرمایش نیوتون پیروی می‌کند<sup>[۳۱]</sup>. بنابراین نرخ خشک شدن متناسب با اختلاف محتوی رطوبتی بین ماده در حال خشک شدن و محتوی رطوبت در حال تعادل است که وابسته به شرایط هوای خشک کردن می‌باشد:

$$\frac{dX}{dt} = k(X - X_e) \quad (3)$$

که  $X_e$  محتوی رطوبت تعادلی (کیلوگرم آب بر کیلوگرم ماده خشک) و  $k$  نرخ خشک کردن ( $s^{-1}$ ) می‌باشد.

تغییر محتوی رطوبتی برگ شوید در طی خشک شدن با رطوبت بی بعد بیان شد.

$$MR = \frac{X_t - X_e}{X_0 - X_e} \quad (4)$$

با انتگرال‌گیری از معادله (4) با شرایط مرزی  $t=0$  و  $X=X_0$  در  $t=t$ ؛ مدل نیوتون (معادله ۵) بدست می‌آید. این مدل پایه، توسط محققین اصلاح شد و مدل‌های مختلف خشک کردن بدست آمد. از بین مدل‌های مختلف خشک کردن، چهار مدل خشک کردن نیوتون، پیچ، دو جمله‌ای، و میدیلی که برای مدل‌سازی فرآیند خشک کردن محصولات کشاورزی استفاده می‌شوند، انتخاب و با داده‌های تجربی مطالعه حاضر مقایسه و ارزیابی شدند (جدول ۱). مدل‌های نظری و نیمه-نظری فوق از یک یا بیشتر عبارت نمایی یا یک عبارت نمایی و عبارت خطی استفاده کردند.

تعیین خواص ترمودینامیکی برگ شوید تحت دماهای مختلف خشک کردن با محاسبه ضریب نفوذ مایع و انرژی فعال‌سازی از طریق منحنی هایسینتیک خشک کردن انجام شد.

## ۲- مواد و روش‌ها

برای انجام آزمایش‌های سبزی شوید تازه هر روز از یک بازار محلی با متوسط رطوبت اولیه ۱۸۵/۱ کیلوگرم آب بر کیلوگرم ماده خشک‌کننده شد. محتوی رطوبتی اولیه با روش آون در دمای  $24^{\circ}\text{C}$  به مدت ۱۰۵۱ h در سه تکرار تعیین شد. مواد زائد مانند علف‌های هرز سنگ‌زده، برگ‌های زرد یا برگ‌هایی که لکه قهوه‌ای دارند و یا آلووه به کپک هستند از محصول جدا شد. برای انجام آزمایش برگ‌های شوید از ساقه جدا شد. آزمایش‌ها در آون Memmert UFB400 مدل ساخت کشور آلمان در چهار دمای مختلف ۵۰، ۶۰، ۷۰ و  $80^{\circ}\text{C}$  انجام شد. خشک کردن تا زمانی انجام گرفت که در طی سه اندازه‌گیری پی در پی تغییر وزنی مشاهده نشد.

## ۲-۱- مدل‌سازی ریاضی

اولین گام مدل‌سازی، تعیین منحنی‌های خشک کردن بود. نرخ خشک شدن ( $N$ , kg water evaporated/min.  $m^2$ ) به عنوان میزان رطوبت تبخیر شده در واحد زمان به واحد مساحت سطح بیان می‌شود:

$$N = \frac{S_s}{A} \left( -\frac{dx}{dt} \right) \quad (1)$$

علامت منفی نشان می‌دهد که با افزایش زمان، رطوبت کاهش می‌یابد. با استفاده از روش تفاضل محدود،

$$N = \frac{S_s}{A} \frac{\Delta X}{\Delta t} \quad (2)$$

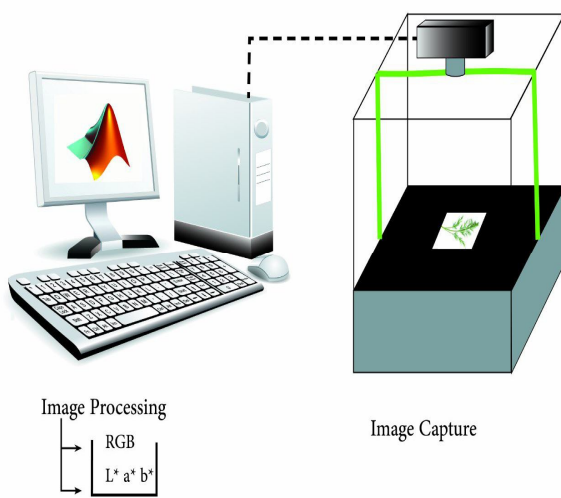
**Table 1** Mathematical models used to predict drying process of dill leaves

Model Name	Equation	Equation number
Newton[۳۲]	$MR = \exp(-kt)$	(5)
Page[۳۳]	$MR = \exp(-kt^n)$	(6)
Two term exponential[۳۴]	$MR = a \times \exp(-kt) + (1-a) \times \exp(-gat)$	(7)
Midilli[۳۵]	$MR = a \times \exp(-kt^n) + b \times t$	(8)

t drying time, s; k drying constant,  $s^{-1}$ ; a, b and g model parameters

ضریب نفوذ موثر در دماهای مختلف خشک کردن با استفاده از معادله (۹)، بر اساس تئوری نفوذ مایع با در نظر گرفتن شکل

## ۲-۲- خصوصیات سینتیکی

**Fig 1** Image acquisition device and processing

برای محاسبه انرژی فعالسازی فرآیند خشک کردن از معادله آرنیوس استفاده شد. ثابت خشک کردن ( $k$ ) بهترین مدل برآش شده برای معادله آرنیوس اعمال شد (معادله ۱۲). این معادله رابطه بین انرژی فعالسازی و انرژی فعالسازی و سرعتی که واکنش اتفاق می‌افتد را نشان می‌دهد.

$$k = k_0 \frac{E_a}{RT} \quad (12)$$

که  $k_0$  عامل پیش نمایی،  $s^{-1}$ ;  $E_a$  انرژی فعالسازی،  $J \text{ mol}^{-1}$ ;  $R$  ثابت جهانی گاز،  $J \text{ mol}^{-1} \text{ K}^{-1}$  و  $T$  دما،  $\text{K}$  است.

### ۳- خصوصیات ترمودینامیکی

خصوصیات ترمودینامیکی فرآیند خشک کردن از طریق نظریه حالت گذرا ایرینگ [۳۷] به دست آمد:

$$\Delta H = E_a - RT_{abs} \quad (13)$$

$$\Delta S = R \left[ \ln k_0 - \ln \left( \frac{k_b}{h_p} \right) - \ln T \right] \quad (14)$$

$$\Delta G = \Delta H - T \Delta S \quad (15)$$

که  $\Delta H$  آنتالپی،  $J \text{ mol}^{-1}$ ;  $\Delta S$  آنتروپی،  $J \text{ mol}^{-1} \text{ K}^{-1}$ ;  $\Delta G$  انرژی آزاد گیس،  $J \text{ mol}^{-1}$ ;  $k_b$  ثابت بولتزمن،  $\text{J K}^{-1}$  و  $h_p$  ثابت پلانک  $\text{J s}$ ؛ و  $k$  ثابت خشک کردن  $\text{s}^{-1}$  است که از مدل ریاضی خشک کردن به دست آمد.

### ۴- ارزیابی رنگ

به طور معمول، اولین ویژگی کیفی غذا که بر روی قابلیت پذیرش آن توسط مصرف کننده تأثیر گذار می‌باشد، شکل ظاهری و رنگ آن است و در بسیاری از موارد حتی بر طعم و مزه‌های لیتداده‌می شود [۳۸]. رنگ به عنوان یکی از شاخص‌های

هندسی محصول به عنوان صفحه تخت با تقریبی از هشت جمله تعیین شد.

(9)

$$MR = \frac{X_t - X_e}{X_o - X_e} = \frac{8}{\pi^2} \sum_{N=1}^{\infty} \frac{1}{(2N+1)^2} \exp \left( - \frac{\pi^2 (2N+1)^2}{l^2} D_{eff} t \right)$$

$t$  زمان،  $\text{s}$ ;  $D_{eff}$  ضریب نفوذ موثر،  $\text{m}^2 \text{s}^{-1}$ ;  $l$  ضخامت برگ شوید است.

اندازه‌گیری حجم نمونه‌ها با استفاده از روش جابجایی تولوئن صورت گرفت. از رابطه (۱۰) برای محاسبه حجم تولوئن جابجا شده و به تبع آن محاسبه حجم نمونه‌ها استفاده شد [۳۶].

(10)

$$V = \frac{M}{\rho_{to}} = \frac{(m - m') - m''}{\rho_{to}}$$

که حجم تولوئن جابجا شده یا حجم نمونه‌ها،  $\text{m}^3$  و به ترتیب جرم حاوی ظرف تولوئن و جرم نمونه‌ها،  $\text{kg}$ ; جرم ظرف تولوئن،  $\text{kg}$ ; جرم تولوئن جابجا شده،  $\text{kg}$  و دانسیته تولوئن  $\text{kg m}^{-3}$  می‌باشد.

برای اندازه‌گیری مساحت سطح برگ‌های شوید از روش پردازش تصویر استفاده شد. برای اطمینان از اینکه عکس فقط دارای دو رنگ با درجه تباين بالا باشد برگ‌ها روی یک سطح سفید قرار گرفتند. عکس برداری از ارتفاع یکسان صورت گرفت تا عامل مقیاس برای همه یکسان باشد (شکل ۱). برنامه متلب پیکسل‌ها را به مساحت واقعی معادل تبدیل کرد. ضخامت نمونه‌ها از رابطه (۱۱) به دست آمد.

(11)

$$l = \frac{V}{A}$$

که حجم تولوئن جابجا شده و مساحت سطح برگ‌های شوید اندازه‌گیری شده با روش پردازش تصویر،  $\text{m}^3$  و ضخامت برگ شوید،  $\text{m}$  می‌باشد.

## ۲-۵-تحلیل آماری مدل‌های خشک کردن

برای تطبیق مدل‌های ریاضی با داده‌های تجربی، تجزیه و تحلیل رگرسیون غیر خطی به روش گوس-نیوتون با نرم افزار متلب انجام گرفت. برای تحلیل درجه پایداری مدل‌ها، ضریب همبستگی ( $R^2$ )، خطای جذر میانگین مربعات (RMSE)، کای مربع ( $\chi^2$ ) استفاده شد. علاوه بر این تحلیل باقی مانده‌های تولید شده توسط مدل‌ها نیز در نظر گرفته شد. مقادیر  $R^2$ , RMSE و  $\chi^2$  توسط معادلات ۱۷-۱۹ محاسبه شد:

$$\chi^2 = \frac{\sum_{i=1}^N (MR_{pre,i} - MR_{exp,i})^2}{N - z} \quad (17)$$

$$RMSE = \left[ \frac{1}{N} \sum_{i=1}^N (MR_{pre,i} - MR_{exp,i})^2 \right]^{\frac{1}{2}} \quad (18)$$

$$R^2 = 1 - \frac{\sum_{i=1}^N (MR_{exp,i} - MR_{avg})^2}{\sum_{i=1}^N (MR_{exp,i} - MR_{avg})^2} \quad (19)$$

که  $MR_{avg}$  و  $MR_{pre}$ ,  $MR_{exp}$  مقادیر نسبت رطوبت تجربی، پیش‌بینی شده و متوسط،  $N$  تعداد نقاط داده،  $Z$  تعداد ثابت‌های مدل است.

## ۳-نتایج و بحث

### ۱-۳-مدل‌سازی منحنی‌های خشک کردن

محتوی رطوبتی از ۶/۱۸ تا ۰/۰۷ کیلوگرم آب بر کیلوگرم ماده خشک در همه دماها کاهش یافت. نسبت رطوبت محاسبه و برای مدل‌سازی ریاضی استفاده شد. مدل‌سازی دوره نزولی یک روش بسیار متداول در فرآیند خشک کردن است. به همین دلیل چهار مدل خشک کردن نیمه-نظری و نظری برای توصیف منحنی‌های خشک کردن برگ شوید در دماهای مختلف ارزیابی شدند. جدول ۲ مقادیر  $R^2$ , RMSE و  $\chi^2$  مدل‌های ریاضی را برای برازش مطلوب با داده‌های تجربی خشک شدن نشان می‌دهد. هدف مدل‌سازی ریاضی تعیین مدلی است که بهترین برازش ممکن را با داده‌های تجربی داشته باشد. برای داده‌های تجربی تحقیق حاضر ضریب همبستگی ( $R^2$ ) بالاتر و خطای جذر میانگین مربعات (RMSE) و کای مربع ( $\chi^2$ ) کمتر برای مدلی با برازش بهتر، برای مدل میدیلی مشاهده شد.

مهم کیفیت مواد غذایی نشان‌گر ویژگی‌های شیمیایی، بیوشیمیایی و میکروبیولوژی محصول می‌باشد و می‌تواند در بازارپسندی آن نقش موثری داشته باشد [۳۹]. بنابراین، رنگ‌های غیر طبیعی، به ویژه آن‌هایی که در اثر رشد میکروب‌ها و یا در اثر از بین رفتن کیفیت ماده غذایی در آن ایجادمی‌شوند، قابلیت پذیرش خود را توسط مصرف کنندگان از دست خواهند داد [۴۰, ۳۹]. خشک کردن سریع بلافاراصله پس از برداشت، موجب پایین آمدن به موقع رطوبت برگ‌ها گردیده و در نتیجه قهوه‌ای شدن آنزیمی که موجب تشکیل رنگدانه‌های تیره رنگ می‌شود، صورت نمی‌پذیرد [۴۱]. از اینرو تولید کنندگان مواد غذایی از اثرات روانشناسی رنگ، برای بالا بردن میزان فروش خود بهره می‌جویند [۴۰]. استاندارد CIE روشنایی D65 برای تعیین مختصات فضای رنگی  $L^*$   $a^*$   $b^*$  لارا به عنوان بهترین فضای رنگی برای تعیین رنگ مواد غذایی با سطوح منحنی پیشنهاد کردند. مختصات رنگی  $L^*$  (روشنایی-تاریکی)،  $a^*$  (قرمزی-سیبی) و  $b^*$  (زردی-آبی) به طور گسترده برای توصیف تغییرات رنگ در طی فرآوری حرارتی محصولات غذایی استفاده می‌شوند. پارامترهای رنگ می‌توانند انواع و مقدار برخی ترکیبات موجود در محصولات را مرتبط کنند [۴۲]. مقدار  $\Delta E$  برای محصول خشک شده که بیانگر توانایی چشم انسان برای تشخیص رنگ نمونه‌ها بسیار مهم است. تفاوت رنگ کل ( $\Delta E$ )، برای ارزیابی کلی تفاوت رنگ بین سبزی تازه و خشک شده در نظر گرفته شد و از رابطه (۱۶) به دست آمد.

$$\Delta E = \sqrt{(L^*_0 - L^*)^2 + (a^*_0 - a^*)^2 + (b^*_0 - b^*)^2} \quad (16)$$

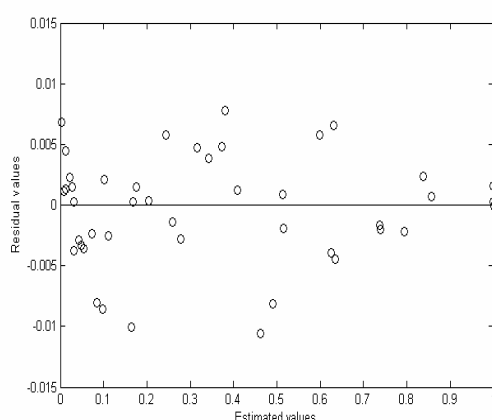
، و پارامترهای رنگ نمونه شوید تازه هستند. نمونه شوید تازه به عنوان مرجع استفاده شد.  $\Delta E$  بزرگتر نشان‌دهنده تغییر رنگ بیشتر نمونه خشک شده از تازه است.

در این تحقیق از سیستم ماشین بینایی (شکل ۱) برای اندازه‌گیری ویژگی‌های رنگ استفاده شد. تصاویر دریافتی در طول فرآیند خشک شدن در فضای رنگی RGB صورت گرفت و برای استخراج ارزش‌های رنگی به فضای  $L^* a^* b^*$  تبدیل گردید. از نرم افزار متلب نسخه ۲۰۰۹ جهت تبدیل و آنالیز تصاویر استفاده شد.

**Table 2** Statistical parameters and residual distribution for the models adjusted to the experimental data of drying dill leaves

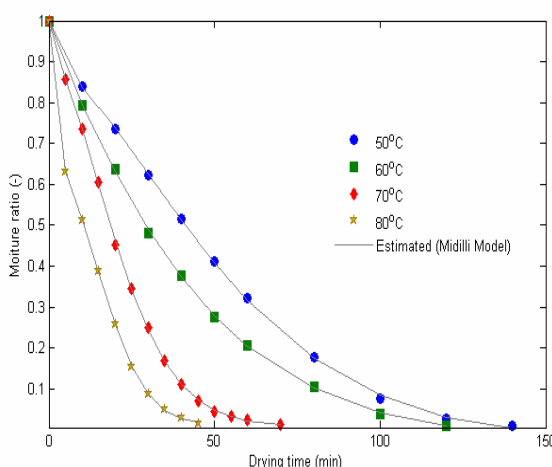
Model	R <sup>2</sup>	RMSE	$\chi^2$	RD
50°C				
Newton	0.9921	0.0480	0.00250	BD
Page	0.9983	0.0221	0.00060	BD
Two term exponential	0.9920	0.0482	0.00320	BD
<b>Midilli</b>	<b>0.9998</b>	<b>0.0075</b>	<b>0.00009</b>	<b>RD</b>
60°C				
Newton	0.9977	0.0243	0.00066	BD
Page	0.9995	0.0115	0.00017	RD
Two term exponential	0.9976	0.0246	0.00086	BD
<b>Midilli</b>	<b>0.9999</b>	<b>0.0059</b>	<b>0.00006</b>	<b>RD</b>
70°C				
Newton	0.9862	0.0551	0.00330	BD
Page	0.9993	0.0122	0.00017	RD
Two term exponential	0.9861	0.0552	0.00390	RD
<b>Midilli</b>	<b>0.9995</b>	<b>0.0108</b>	<b>0.00016</b>	<b>RD</b>
80°C				
Newton	0.9942	0.0332	0.00120	RD
Page	0.9942	0.0332	0.00140	BD
Two term exponential	0.9945	0.0325	0.00150	BD
<b>Midilli</b>	<b>0.9969</b>	<b>0.0243</b>	<b>0.00099</b>	<b>RD</b>

BD - Biased distribution; RD - Random distribution

**Fig 2** Behavior of the residual distribution of modified Midilli model, in order to describe drying of dill leaves

باید توجه داشت که مطالعه مدل‌سازی خشک کردن انواع محصولات کشاورزی بدون توجه به اندازه، شکل و یا ترکیبات شیمیابی مشابه مهم است. زیرا در صورت عدم وجود داده‌های خشک کردن یک واریته، داده‌های واریته دیگر می‌تواند خطای قابل توجهی را باعث شود [۴۴، ۲۷]. زمان خشک شدن برای برگ شوید در این تحقیق (شوید بومی استان گلستان) در

توزیع مانده‌ها، اختلاف بین مقادیر تجربی مشاهده شده با مقادیر تخمین زده شده توسط مدل‌به‌عنوان تابعی از مقادیر تخمین زده شده است. توزیع مانده‌ها نشان می‌دهد که مدل چطور مقدار متغیرها را ارزیابی می‌کند [۴۳]. وقتی مقادیر مانده‌ها در ناحیه نزدیک صفر توزیع شود یعنی مدل در نظر گرفته شده قابل پذیرش است. اگر توزیع مانده‌ها در یک نقطه خارج از محور انباشته شده باشد یعنی توزیع مانده‌ها یک طرفه است و نشان‌دهنده بیش تخمین زدن یا کم تخمین زدن داده‌ها از شرایط واقعی توسط مدل است. بنابراین مدل در نظر گرفته شده برای تخمین پدیده مورد نظر نامناسب است. توزیع مانده مدل برای توصیف خشک کردن برگ شوید در شکل ۲ نشان داده شده است و نشان می‌دهد که روند ارائه شده برای توزیع مانده‌ها توسط مدل میدیلی برای توصیف خشک شدن شوید تصادفی بود.



**Fig 3** Moisture content of dill leaves as a function of time at different drying temperatures

پارامترهای مدل میدلی برای هر دمای خشک کردن و معادلات مربوطه در جدول ۳ آمده است. معادلات برای تخمین هر ضریب به عنوان تابعی از دمای هوای خشک کردن با ضریب تعیین بالا استفاده شد. ضریب "a" و "n" روند تغییرات را به عنوان تابعی از دما نشان ندادند بنابراین از مقدار میانگین آنها استفاده شد.

دمای  $50^{\circ}\text{C}$  تقریباً  $1/7 \text{ h}$ ، و زمان خشک شدن برای برگ شوید بومی استان تهران در یک خشککن همرفتی تقریباً  $3/9 \text{ h}$  به دست آمد [۴۵].

شکل ۳ مقایسه نسبت رطوبت تجربی و پیش‌بینی شده توسط مدل میدلی را به عنوان تابعی از زمان در شرایط دمای مختلف خشک کردن نشان می‌دهد. مطابق با شکل ۲ زمان خشک کردن  $80^{\circ}\text{C}$  از ۱۴۰ دقیقه در دمای  $50^{\circ}\text{C}$  به ۴۵ دقیقه در دمای  $80^{\circ}\text{C}$  کاهش یافت. افزایش دمای هوای موجب کاهش زمان خشک کردن می‌شود. با افزایش دما اختلاف فشار جزیی بخار آب بین هوای خشک کردن و محصول بیشتر شده و زمان خشک کردن کاهش می‌یابد. اختلاف بیشتر فشار جزیی بخار آب بین هوای خشک کردن و محصول موجب جدا شدن سریعتر و آسان تر آب از محصول می‌شود؛ نتایج مشابه‌ای توسط دیگر نویسنده‌گان برای محصولات متعدد مشاهده شد [۲۶، ۲۹].

**Table 3** Midilli model coefficients and adjusted equations as a function of drying air temperature for dill leaves

Coefficients	Temperature ( $^{\circ}\text{C}$ )				Equations	$R^2$ (%)
	50	60	70	80		
a	0.9895	0.9940	0.9835	0.9970	0.9834	ns
k ( $\times 10^3$ )	0.3443	0.2081	0.0460	0.0289	$0.0009 - 10^{-5} \times T$	94.92
n	1.1430	0.8247	1.4377	1.0836	1.1430	ns
b ( $\times 10^5$ )	-3.9547	-0.1201	-0.5219	-0.6909	$36.22 + 1.207 \times T - 0.01 \times T^2$	90.39

ns Not significant

که مقادیر تحقیق حاصل نیز در محدوده ضریب نفوذ موثر مواد غذایی از  $10^{-12}$  تا  $10^{-9}$  مرتبه تا  $10^{-9}$  است [۳۱]. نتایج مشابهی از نظر مرتبه ضریب نفوذ موثر در محدوده دمایی تحقیق حاضر توسط ایربای و آیسیر [۴۶] برای خشک کردن برگ زیتون  $4/973 \times 10^{-9} \text{ m}^{-2} \text{s}^{-1}$  و  $4/1054 \times 10^{-9} \text{ m}^{-2} \text{s}^{-1}$  کامک و همکاران [۴۷] برای برگ بو  $8/0.8 \times 10^{-9} \text{ m}^{-2} \text{s}^{-1}$  به دست آمد. کادام و همکاران [۴۸] برای برگ نعناع  $1/52 \times 10^{-10} \text{ m}^{-2} \text{s}^{-1}$  به دست آمد. سیلو و همکاران [۴۹] برای برگ گیاه پای گاو  $2/657 \times 10^{-10} \text{ m}^{-2} \text{s}^{-1}$  تا  $2/657 \times 10^{-11} \text{ m}^{-2} \text{s}^{-1}$  و مارتینازو و همکاران [۵۰] برای برگ گیاه علف لیمو  $7/424 \times 10^{-11} \text{ m}^{-2} \text{s}^{-1}$  تا  $3/949 \times 10^{-11} \text{ m}^{-2} \text{s}^{-1}$  و مارتینازو و همکاران [۵۰] برای ضریب نفوذ موثر گزارش کردند. گرچه گیاهان پای گاو، علف لیمو و نعناع نیز برگی

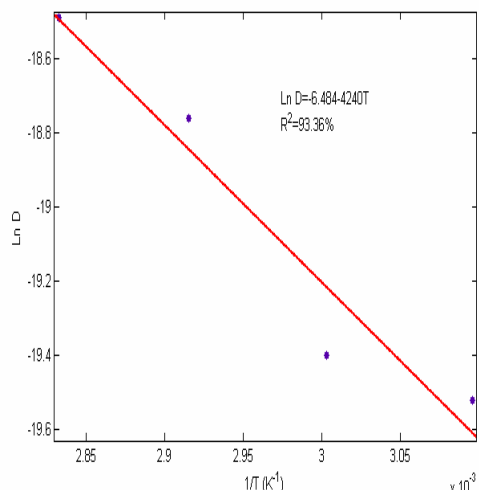
بنابراین روند خشک شدن برگ شوید در دمایی مختلف خشک کردن از رابطه (۲۰) قابل پیش‌بینی است.

$$MR = 0.9834 \times \exp((0.0009 - 10^{-5} \times T) \times 1.14) + 36.22 + 1.207 \times T - 0.01 \times T^2$$

### ۲-۳- خصوصیات سنتیکی

مقادیر ضریب نفوذ موثر برگ شوید به عنوان تابعی از دمای هوای خشک کن در شکل ۴ نشان داده شده است. ضریب نفوذ موثر با افزایش دمای خشک کردن به طور خطی افزایش می‌یابد. مقادیر  $9/319 \times 10^{-9} \text{ m}^{-2} \text{s}^{-1}$  تا  $9/375 \times 10^{-9} \text{ m}^{-2} \text{s}^{-1}$  برای دمایی  $50^{\circ}\text{C}$  تا  $80^{\circ}\text{C}$  نشان می‌دهد که با  $30^{\circ}\text{C}$  افزایش دمای شدت انتقال آب از داخل به سطح برگ تقریباً ۳ برابر افزایش می‌یابد. همچنین مقادیر ضریب نفوذ برگ شوید نشان می‌دهد

و  $\text{kJ mol}^{-1}$  ۷۵/۹۸ ارزیابی کردند. در فرآیند خشک کردن انرژی فعالسازی بالاتر، موجب انتشار آب بیشتری از محصول خواهد شد. عبارت دیگر، انرژی کمتری برای انتقال آب آزاد مایع در بخار آب لازم است. انرژی فعالسازی این تحقیق کمتر از مطالعات ادبی و همکاران و ایربای و ایسر به دست آمد؛ که ممکن است به علت پیوند ناپایدارتر بین آب و برگ شوید باشد.



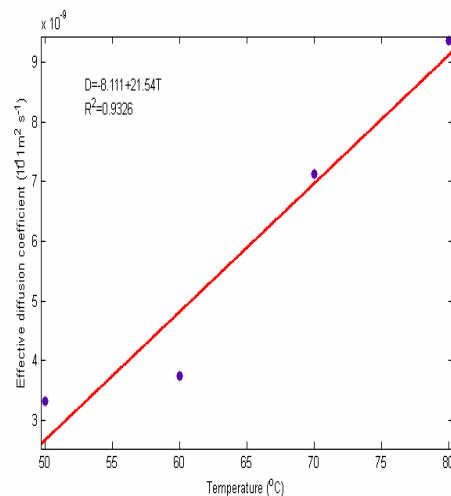
**Fig 5** Arrhenius representation of the effective diffusion coefficient of dill leaves for different temperatures of drying

### ۳-۳- خصوصیات ترمودینامیکی

جدول ۴ مقادیر آنتالپی و آنتروپی و انرژی آزاد گیبس را برای شرایط مختلف خشک کردن نشان می‌دهد. آنتالپی و آنتروپی با افزایش دمای خشک کردن کاهش می‌یابند در حالیکه انرژی آزاد گیبس به‌طور خطی با افزایش دمای خشک کردن افزایش یافت.

در حوزه خشک کردن تغییر آنتالپی یا  $\Delta H$  به عنوان شاخص قدرت اتصال آب به مواد استفاده می‌شود [۲۰]، به این معنا است که مقدار بالاتر این پارامتر، آب محکم‌تر به محصول چسبیده است و انرژی بیشتری برای جدا کردن آب از محصول در طی فرآیند خشک کردن لازم است. آنتالپی با افزایش دمای خشک کردن کاهش می‌یابد. این رفتار توسط برگ‌های شوید در طی کاهش محتوى رطوبتی نیز مشاهده شد، به‌طوری‌که در دمای پایین‌تر خشک کردن به انرژی بیشتری برای جدا کردن آب متصل به محصول نیاز داشت، به همین دلیل مقدار آنتالپی

شکل هستند اما نتایج حاصل از این تحقیق حاکمی از آن است که آب با سرعت بیشتری از برگ شوید نسبت به پای گاو، علف لیمو و نعناع خارج می‌شود.



**Fig 4** Average values of effective diffusion coefficient ( $\text{m}^2 \text{ s}^{-1}$ ) obtained at different temperatures for drying dill leaves

وابستگی ضریب نفوذ برگ شوید به دمای هوا خشک کردتوسط عبارت آرنیوس در شکل ۵ نشان داده شده است. انرژی فعالسازی به این معناستکه مولکول‌های آب به سد انرژی که در برابر خروج رطوبت از داخل محصول به خارج وجود دارد، فایق آیند. مطابق با گزارش زوگراس و همکاران [۵۱] انرژی فعالسازی برای مواد غذایی در محدوده  $\text{kJ mol}^{-1}$  ۱۱۰/۷-۱۲/۷ است؛ انرژی فعالسازی فرآیند خشک کردن سبزی شوید  $\text{kJ mol}^{-1}$  ۴۲/۲۹ به دست آمد. بنابراین مقدار به دست آمده در این تحقیق در محدوده انرژی فعالسازی مواد غذایی واقع شده است.

کاکمک و همکاران [۴۷] مقدار نزدیک به آنچه در کار حاضر یافت شده به دست آورده‌اند. این نویسنده‌گان انرژی فعالسازی را برای برگ بو  $\text{kJ mol}^{-1}$  ۴۰/۱۰ به دست آوردند، اختلاف در مقدار آنرژی فعالسازی را برای خشک کردن متولی و همکاران [۴۵] ارزی فعالسازی را برای خشک کردن همرفت‌شوید  $\text{kJ mol}^{-1}$  ۸۰/۱۲ به دست آورده‌اند، اختلاف در مقادیر آنرژی فعالسازی ممکن است به علت اختلاف در ترکیبات شیمیایی، ساختار سلولی، اختلاف در واریته و همچنین دمای فرآیند باشد [۱۷]. ادبی و همکاران [۵۲] و ایربای و ایسر [۴۶] انرژی فعالسازی خشک کردن برگ آویشن و برگ زیتون را به ترتیب  $\text{kJ mol}^{-1}$  ۱۰۴/۷۷-۷۷/۲۱ به دست آورده‌اند.

نیازی به انرژی اضافه نیست در حالی که مقدار مثبت نشان دهنده فرآیند غیر خود به خودی استکه نیاز به انرژی اضافه از محیط دارد [۲۲]. تغییرات انرژی آزاد گیس در طی تبادل رطوبت بین محصول و محیط، انرژی مورد نیاز برای انتقال مولکولهای آب در حالت بخار به سطح جامد و یا بالعکس نشان می‌دهد. این مقدار می‌تواند معیاری برای توانایی انجام کار لازم توسط سیستم برای انجام فرآیند جذب یا دفع در نظر گرفته شود. نکولوماز و همکاران [۵۵] گزارش کردند که تغییرات انرژی آزاد گیس با محتوی رطوبتی نشان دهنده دسترس پذیری مکان‌های قطبی برای جذب بخار آب یا کار لازم برای مکان‌های جذب در دسترس نسبت داده می‌شود. این پارامتر به عنوان عملکرد جذب یا دفع است. در این تحقیق مقدار انرژی آزاد گیس با افزایش دما از ۵۰ تا ۸۰°C ۳/۷۷٪ افزایش یافت. مقدار مثبت انرژی آزاد گیس در فرآیند خشک کردن نشان دهنده این است که واکنش غیر خود به خودی است و نیاز به انرژی اضافه از محیط اطراف برای فرآیند خشک کردن دارد و با افزایش دمای خشک کردن افزایش می‌پابند. این رفتار همچنین توسط اولیورا و همکاران در مطالعه خصوصیات ترمودینامیکی سویا مشاهده شد [۲۶].

معادلات تعیین آنتالپی، آنتروپی و انرژی آزاد گیس برای محدوده دمای مورد مطالعه در جدول ۴ آمده است. این خصوصیات ترمودینامیکی با ضریب تبیین بالای رفتار خطی با دما دارند. در خشک کردن برگ شوید، دو عامل آنتالپی و آنتروپی در خلاف جهت هم عمل می‌کنند. هر کدام که اثر بیشتری داشته باشد، واکنش را کنترل می‌کند. بنابراین خشک کردن برگ شوید مکانیسم کنترل آنتالپی است.

**Table 4** Thermodynamic properties ( $\Delta H$ : enthalpy;  $\Delta S$ : entropy;  $\Delta G$ : Gibbs free energy) of drying process of dill leaves

Temperature (°C)	Thermodynamic property		
	$\Delta H$ (kJ mol <sup>-1</sup> )	$\Delta S$ (kJ mol <sup>-1</sup> K <sup>-1</sup> )	$\Delta G$ (kJ mol <sup>-1</sup> )
50	39.60	-0.3076	138.96
60	39.52	-0.3069	141.71
70	39.43	-0.3033	143.46
80	39.35	-0.2972	144.25
Equation	$H=40017-8.314T$	$S=-322.71+0.288T$	$G=129315+198.09T$
R <sup>2</sup> (%)	99.99	92.87	98.09

جدول ۵ مقدار سه مختصات رنگی که بیشترین استناد برای ارزیابی رنگ غذا است [۵۶] را نشان می‌دهد. مختصات L\* نشان دهنده روشنایی بوده و از ۰ تا ۱۰۰ به ترتیب برای سیاه تا

در دمای ۸۰°C از مقدار اولیه اش در ۵۰/۶۳٪ کمتر به دست آمد.

آنتروپی با جاذبه یا دافعه نیروهای سیستم میان مولکولهای آب با ترکیبات محصول و با آرایش فضایی آب-ماده غذایی در ارتباط است است بنابراین تعداد مکان‌های دفع در دسترس متناظر با یک سطح انرژی خاص به عنوان  $\Delta S$  تعریف می‌شود که درجه بی‌نظمی یا حرکت تصادفی مولکولهای آب را توصیف می‌کند [۵۳]. آنتروپی حرکت مولکولهای آب جذب شده را ارزیابی می‌کند و نشان دهنده سطح فعل و افعالات آب و ماده غذایی است [۲۰]. از تحلیل رفتار آنتروپی می‌توان نتیجه گرفت که این خصوصیت ترمودینامیکی رفتاری مشابه آنتالپی نشان می‌دهد که در آن مقدار آنتروپی با افزایش دما کاهش می‌یابد (جدول ۴). از آنجا که کاهش دما منجر به کاهش سطح تحیریک مولکولهای آب محصول می‌شود درجه آنتروپیکی آب-محصول را افزایش می‌یابد، که به لحاظ آنتروپیکی نامطلوب است. این واقعیت را می‌توان توسط تئوری کمپلکس فعال توضیح داد، که در آن یک ماده در شرایط فعال‌سازی کمپلکس بهجهت از دست دادن آزادی حرکت انتقالی یا چرخش، آنتروپی اش منفی می‌شود [۵۴]. مقدار منفی آنتروپی را به وجود تغییرات شیمیایی و ساختار محصول می‌توان نسبت داد [۲۰].

امکان‌پذیری و محدوده انجام یک واکنش شیمیایی (تبخیر آب در طی فرآیند خشک کردن) با اندازه‌گیری تغییرات انرژی آزاد گیس ( $\Delta G$ ) تعیین می‌شود [۲۱]. مطابق با تلیس و همکاران انرژی آزاد گیس نشان دهنده آب دوستی محصول است و معیاری برای میزان جذب آب است. مقدار منفی انرژی آزاد گیس به این معنی است که فرآیند خود به خودی است و

دوستی آنتروپی اش منفی می‌شود [۵۴].

را به وجود تغییرات شیمیایی و ساختار محصول می‌توان نسبت داد [۲۰].

### ۳-۴- اثر دمای خشک کردن بر تغییر رنگ برگ شوید

رنگ زرد محصول خشک شده کمتر از محصول تازه بود. از نتایج کار حاضر می‌توان نتیجه گرفت که فرآیند خشک کردن شوید<sup>a\*</sup> را افزایش داد در حالیکه<sup>L\*</sup> و<sup>b\*</sup> کاهش یافت. علت تعییر پارامترهای رنگی طی خشکشدن، می‌تواند تخریب رنگدانه‌های موجود در غذا به علت تجزیه کلروفیل و کارتوئینید، واکنش‌های قهوه‌ایشدن آنزیمی و غیرآنژیمی است که در اثر تماس ماده غذایی با هوای داغ اتفاق می‌افتد. این یافته در تطابق با یافته‌های ماسکان [۳۹]، ارسلان و موسی از کان [۵۷] و لویز و همکاران [۵۹] بود.

اختلاف رنگ کلی ( $\Delta E$ ) تابعی از سه مختصات رنگی است و از معادله (۱۶) به دست آمد. تعییرات در  $\Delta E$  توسط انتقال همزمان جرم و گرما در نمونه اتفاق می‌افتد و بستگی به دما و زمان خشک کردن دارد. مطابق با Šumić و همکاران [۶۰] اگر  $\Delta E$  بین دو نمونه کمتر از ۱/۰ باشد، فرض بر این است که اختلاف محسوس نیست. در این تحقیق اختلاف رنگ کلی ( $\Delta E$ ) نمونه‌های خشک شده از تازه ۲/۲۱ تا ۶/۶۲ واحد بسته به دمای خشک کردن تعییر می‌کرد. مقادیر  $\Delta E$  برای همه نمونه‌های خشک شده بیشتر از نمونه تازه بود که نشان می‌داد نمونه‌های خشک شده تیره‌تر از نمونه‌های تازه بودند.

اختلاف رنگ کلی ( $\Delta E$ ) برگ شوید خشک شده از رنگ برگ‌های تازه در دمای ۶۰ کمترین مقدار بود. در دمای ۵۰°C به علت زمان فرآوری طولانی مدت و در دمای ۷۰-۸۰ جریان گرمای بالاتر قهوه‌ای شدن شدیدتر اتفاق افتاد؛ زیرا دمای پایین فرآیند به علت زمان‌های طولانی خشک کردن و دمای بالای خشک کردن به علت تاثیر روی ترکیبات حساس به دما می‌تواند موجب تعییر رنگ برگ شوید همراه با قهوه‌ای شدن محصولات شود [۶۱].

سفید تغییر می‌کند.<sup>a\*</sup> مختصات متضاد رنگی است که مقادیر منفی آنرا سبزیو مقادیر مثبت برای قرمزیاست. دیگر مختصات متضاد رنگی<sup>b\*</sup> است، که اگر منفی باشد آبی و اگر مثبت باشد زردی را نمایش می‌دهد.

میزان روشنایی (L\*) برگ شوید تازه حدود ۱۴/۴۴ بود. نتایج حاصل از اندازه‌گیری این پارامتر نشان داد که تقریباً در تمامی نمونه‌ها، این پارامتر در طی خشک کردن کاهش پیدا می‌کند. مقایسه میانگین تعییرات پارامتر<sup>L</sup>\* نشان می‌دهد که افزایش دما تأثیر منفی بر روشی نمونه‌ها داشته و باعث کاهش آن شده است. کمتر شدن مقدار L\* محصول خشک شده در همه دمای نشان داد که به طور کلی محصول خشک شده نسبت به محصول تازه تیره‌تر بود.

مقدار پارامتر<sup>a\*</sup> برای برگ شوید تازه معادل ۳/۶۴ بود. نتایج ارزیابی پارامتر<sup>a\*</sup> نمونه‌ای خشک شده حاکی از این مطلب است که دمای ۶۰ کمترین تخریب را روی رنگ سبز نمونه‌های خشک شده داشته است. پارامتر<sup>a\*</sup> شوید در حالت تازه و خشک شده مقدار منفی داشت، اما بعد از خشک شدن در همه دمای زیاد شدن مقادیر<sup>a\*</sup> نشان‌دهنده کاهش شدت رنگ سبز نمونه‌های خشک شده بود. این اثر در دمای ۵۰ شدیدتر است. افزایش مقدار پارامتر<sup>a\*</sup> بعد از خشک کردن همراه برای بسیاری از سبزیجات از قبیل پیاز [۵۷] و فلفل [۵۸] نیز مشاهده شد. مقدار<sup>b\*</sup> نمونه تازه حدود ۹/۵۷ بود. نتایج حاکی از کم شدن این پارامتر در طول فرآیند خشک کردن به حدود ۸/۶۷، ۸/۲۳، ۶/۰۶ و ۷/۲۸ به ترتیب در دمای ۵۰، ۶۰، ۷۰ و ۸۰ درجه سانتی‌گراد بود.<sup>b\*</sup> همواره مثبت بود که نشان‌دهنده زردی محصول تازه و خشک شده بود اما در همه دمای خشک کردن مقدار<sup>b\*</sup> کاهش یافت یعنی شدت

**Table 5** Results of the color change in the fresh and dried dill leaves

	Fresh	Dried at 50°C	Dried at 60°C	Dried at 70°C	Dried at 80°C
Drying time (min)	-	140	120	70	45
Colour parameter L*	14.44	12.69	12.67	10.67	10.75
Colour parameter a*	-3.64	-0.82	-1.74	-1.57	-1.29
Colour parameter b*	9.57	8.76	8.23	6.06	7.28
Total colour difference	-	6.62	2.21	5.29	4.16

ضریب نفوذ موثر برگ شوید با افزایش دمای خشک کردن افزایش یافت؛ این پدیده توسط معادله آرنسپس با انرژی فعال‌سازی  $42/29 \text{ kJ mol}^{-1}$  توصیف شد. آنتالپی و آنتروپی با افزایش دما، کاهش پیدا کرد. تعییر آنتالپی مثبت نشان‌دهنده

#### ۴- نتیجه‌گیری

اثر دمای خشک کردن روی خصوصیات ترمودینامیکی و سینیتیکی برگ شوید بررسی شد. مدل میدیلی منحنی داده‌های تجربی خشک کردن را دقیق‌تر از سایر مدل‌ها برآش کرد.

- extract on lipid and coagulatory parameters in rats. *Biomedical letters.* 59(233): 137-141.
- [8] Bailer, J., Aichinger, T., Hackl, G., Hueber, K., and Dachler, M. 2001. Essential oil content and composition in commercially available dill cultivars in comparison to caraway. *Industrial crops and products.* 1: 229-239.
- [9] Slupski, J., Lisiewska, Z., and Kmiecik, W. 2005. Content of macro and microelements in fresh and frozen Dill. *Food Chemistry.* 91: 737-740.
- [10] Ranjbarian, P., Sadeghian, S., Shirazi, M. H., Sarraf Nejad, A., Fazeli, M.R., and Amin, G.H.R. 2004. Four antibacterial effects of extracts of cinnamon, caraway, fennel and dill in Helicobacter by disk diffusion method and flow cytometry. *Scientific Journal of Hamadan University of Medical Sciences.* 11(3): 42-47 (In Persian).
- [11] Delaquis, P.J., Stanich, K., Girard, B., and Mazza, G. 2007. Antimicrobial activity of individual and mixed fractions of dill, Cilantro, Coriander and Eucalyptus. *Essential oils International Journal of food microbiology.* 7: 101-9.
- [12] Hoseinzadeh, H., Karimi, G.R., and Moghadam, M.A. 2002. Effect on ulcer of aqueous and ethanol extracts of dill seeds in mice. *Journal of Medicinal Plants.* 1(2): 53-63.
- [13] Marsac, P.J., Konno, H., and Taylor, L.S. 2006. A comparison of the physical stability of amorphous felodipine and nifedipine systems. *Pharmaceutical Research.* 23: 2306-2316.
- [14] Corrêa, P.C., Araújo, E.F., and Afonso Júnior, P.C. 2003. Determinação dos parâmetros de secagem em camada delgada de sementes de milho doce (*Zea mays* L.) [Determination of the parameters related to thin-layer drying of sweet corn seeds (*Zea mays* L.)]. *Revista Brasileira de Milho e Sorgo.* 2:110-119.
- [15] Queiroz, D.M., Corrêa, P.C., and Souza, C.M.A. 1999. Simsec - Um programa para simulação de secagem [SIMSEC - A software for drying simulation]. In: *Conferência Brasileira de Pós-Colheita.* Porto Alegre. Anais. Passo Fundo: Abrapós; Cesa; Embrapa Trigo.
- [16] Corrêa, P.C., Oliveira, G. H. H., Botelho, F. M., Goneli, A. L. D., and Carvalho, F. M.

گرمگیر بودن فرآیند خشک کردن بود. آنتروپی در محدوده دمای مطالعه شده منفی بود. آنتروپی منفی نشان‌دهنده تغییر در ترکیبات برگ شوید در طی خشک کردن بود. انرژی آزاد گیبس با افزایش دما افزایش یافت و مقدار مشتتش نشان داد که واکنش خودبه خودی نبود؛ بنابراین، این فرآیند به انرژی اضافه از یک منبع خارجی نیاز داشت. مصرف کنندگان کیفیت قابل مشاهده یعنی رنگ محصول را ترجیح می‌دهند. بهترین ویژگی‌های رنگی در دمای ۶۰ مشاهده شد.

## ۵- سپاسگزاری

از باشگاه پژوهشگران جوان و نخبگان که حمایت مالی این تحقیق را بر عهده داشته است، تقدیر و تشکر به عمل می‌آید.

## ۶- منابع

- [1] Heidari, M.R., Noroz-zadeh, R., and Abbasi, M. 2013. The use of herbal drugs in cardiovascular diseases: A review article. *Cardiovascular Nursing Journal.* 2(2): 70-77 (In Persian).
- [2] Patwardhan B, Vaidy, A.D.B., and Chorghade, M. 2004. Ayurveda and natural products drug discovery. *Current Science.* 86: 779-789.
- [3] Naseri, M., and Shams Ardakani, M.R. 2004. The School of Traditional Iranian Medicine: The Definition, Origin and Advantages. *Journal of the International Society for the History of Islamic Medicine.* 3(6): 17-22.
- [4] Yazdi, A. 2008. Some properties of edible and medicinal plants. Qom: Nejabat Publisher (In Persian) .
- [5] Zargari, A. 1996. Medicinal plants. Vol. 2. Thehran: Tehran University Publisher (In Persian).
- [6] Yazdanparast, R., and Alavi, M. 2001. Anti hyperlipidemic and anti hyper cholesterol emic effects of *Anethum graveolens* leaves after the removal of furocoumarins. *Cytobios.* 10: 185-191.
- [7] Yazdanparast, R., and Saei, A. 1999. Effect of aqueous tarragon , *Artemisia dracunculus* ,

- [26] Oliveira, D.E.C., Resende, O., and Bessa, J.F.V. 2013. Kinetic and thermodynamic properties of soybean grains during the drying process. *Journal of Agricultural Engineering Research*. 66: 331-337.
- [27] Corrêa, P.C., Oliveira, G.H.H., Oliveira, A.P.L.R., Botelho, F.M., and Goneli, A.L.D. 2016. Thermodynamic properties of drying process and water absorption of rice grains. *CYTA – Journal of Food*. 1-7.
- [28] Silva, H.W., Rodovalho, R.S., Velasco, M.F., Silva,C.F., and Vale, L.S.R. 2016. Kinetics and thermodynamic properties related to the drying of 'Cabacinha' pepper fruits. *Revista Brasileira de Engenharia Agrícola e Ambiental*. 20(2): 174-180.
- [29] Costa, C.F., Resende, O., Sousa, K.A., and Gonçalves, D.N. 2016. Mathematical modeling and determination of thermodynamic properties of jabuticaba peel during the drying process. *Revista Brasileira de Engenharia Agrícola e Ambiental*. 20(6): 576-580.
- [30] Silva, R.M., Placido, G.R., Oliveira, D.E.C., Silva, M.A.P., and Caliari, M. 2014. Pequi pulp (*Caryocar brasiliense Cambess*): Drying kinetics and thermodynamic properties. *African Journal of Biotechnology*. 13(33): 3443-3449.
- [31] Gokhale, S.V., and Lele, S.S. 2010. Optimization of convective dehydration of  $\beta$ -Vulgaris for color retention. *Food Bioprocess Technology*. 5(3):868-878.
- [32] O'callaghan, J.R., Menzies, D.J., and Bailey, P.H. 1971. Digital simulation of agricultural dryer performance. *Journal of Agricultural Engineering Research*. 16: 223-244.
- [33] Page, G. 1949. Factors influencing the maximum rates of air-drying shelled corn in thin layer, in *Mechanical Engineering*. Purdue University.
- [34] Sharaf-Eldeen, Y.I., Blaisdell, J.L., and Hamdy, M.Y. 1980. A model for ear corn drying. *Transections of the ASAЕ*. 23: 1261-1271.
- [35] Midilli, A., Kucuk, H., and Yapar, Z. 2002. A new model for single layer drying. *Drying Technology*. 20(7): 1503-1513.
2010. Modelagem matemática e determinação das propriedades termodinâmicas do café (*Coffea arabica L.*) durante o processo de secagem. *Revista Ceres*. 57: 595-601.
- [17] Martins, E.A.S., Lage, E. Z., Goneli, A. L. D., Hartmann Filho, C. P., and Lopes, J. G. 2015. Cinética de secagem de folhas de timbó (*Serjania marginata Casar*). *Revista Brasileira de Engenharia Agrícola e Ambiental*. 19: 238-244.
- [18] Goneli, A.L.D., Corrêa, P.C., Oliveira, G.H.H., and Botelho, F.M. 2010. Water desorption and thermodynamic properties of okra seeds. *Transactions of the ASAЕ*. 53: 191-197.
- [19] Tolaba, M.P., Peltzer, M., Enriquez, N., and Pollio, M.L. 2004. Grain sorption equilibria of quinoa grains. *Journal of Food Engineering*. 61: 365–371.
- [20] Moreira, R., Chenlo, F., Torres, M.D., and Vallejo, N. 2008. Thermodynamic analysis of experimental sorption isotherms of loquat and quince fruits. *Journal of Food Engineering*. 88(4): 514–521.
- [21] Annamalai, K., Puri,I.K., and Jog, M.A. 2002. Advanced thermodynamics engineering. Boca Raton: CRC Press.
- [22] Telis, V.R.N., Gabasb, A.L., Menegallib, F.C., and Telis-Romero, J. 2000. Water sorption thermodynamic properties applied to persimmon skin and pulp. *ThermochimicaActa*. 343(1-2): 49–56.
- [23] Corrêa, P.C., Botelho, F.M., Oliveira, G.H.H., Goneli, A.L.D., Resende, O., and Campos, S.C. 2011. Mathematical modeling of the drying process of corn ears. *Acta Scientiarum-Agronomy*. 33: 575-581.
- [24] Velásquez, G.S.K., Figueira, A.C., Rodriguez, H.M.E., Roman, G.A., Carrillo, N.H., and Perez, A.C. 2015. Sorption isotherms, thermodynamic properties and glass transition temperature of mucilage extracted from chia seeds (*Salvia hispanica L.*). *Carbohydrate Polymers*. 121: 411–419.
- [25] Gómez, G.G., Orrego-Alzate, C., Grajales, L.M., Telis, V.R.N., Gabas, A., and Telis-Romero, J. 2011. Effect of drying methods on the thermodynamic properties of blackberry pulp powder. *Dyna*. 78(168): 139-148.

- (*Laurus nobilis* L.) in Conventional and Microwave Oven. *Akademik Gıda*. 11(1): 20-26.
- [48] Kadam, D.M., Goyal , R.K., Singh, K.K., and Gupta, M.K. 2011. Thin layer convective drying of mint leaves. *Journal of Medicinal Plants Research*. 50(2): 164-170.
- [49] Silva, F.P., Siqueira, V.C., Martins, E.A. S., Miranda, F. M. N., and Melo, R.M. 2017. Thermodynamic properties and drying kinetics of *Bauhinia forficata* Link leaves. *Revista Brasileira de Engenharia Agrícola e Ambiental*. 21(1): 61-67.
- [50] Martinazzo, A.P., Corrêa, P. C., Melo, E. C., and Barbosa, F. F. 2007. Difusividade efetiva em folhas de *Cymbopogon citratus* (DC.) Stapf submetidas à secagem com diferentes comprimentos de corte e temperaturas do ar. *Revista Brasileira de Plantas Medicinais*. 9: 68-72.
- [51] Zogzas N.P., Maroulis Z.B., and Marinos-Kouris D. 1996. Moisture diffusivity data compilation in foodstuffs. *Drying Technology*. 14: 2225-2253.
- [52] Adabi, M.E., Minaei, S., Motavalli, A., Taghizadeh, A., and Azadbakht, M. 2013. Energy Consumption, Effective Moisture Diffusion and Activation Energy in Drying of Thyme Leaves (Part II). *International Journal of Agronomy and Plant Production*. 4(9): 2404-2412.
- [53] McMinn, W.A.M., Al-Muhtaseb, A.H., and Magee, T.R.A. 2005. Enthalpy-entropy compensation theory in sorption phenomena of starch materials. *Journal of Food Engineering*. 38: 505-510.
- [54] Dannenberg, F., and Kessler, H. 1988. Reaction kinetics of the denaturation of whey proteins in milk. *Journal of Food Science*. 53: 258-263.
- [55] NkoloMeze'e, Y.N., Noah Ngamveng, J., and Bardet, S. 2008. Effect of enthalpy-entropy compensation during sorption of water vapour in tropical woods: the case of bubinga (*Guibourtia Tessmannii* J. L'Eonard; G. Pellegriniana J.L.). *Thermochimica Acta*. 468(1-2): 1-5.
- [56] Rojas-Graü, M.A., Soliva-Fortuny, R.C., and Martín-Belloso, O. 2008. Effect of natural antibrowning agents on color and related [36] Mohsenin, N.N. 1986. Physical properties of plant and animal materials. New York: Gordon and Breach Science Publisher.
- [37] Farid, M.M. 2010. Mathematical Modeling of Food Processing. Boca Raton: CRC Press.
- [38] Tahmasbi-Pour, M., Dehghan-Nia, J., Seiiedlou-Heris, S.S., and Ghanbarzadeh, B. 2014. Modeling of color changes during drying pre-treated grapes with ultrasound and carboxymethyl cellulose and its sensory properties. *Journal of Food Science and New Technologies*. 4: 61-79.
- [39] Maskan, M. 2001. Kinetics of colour change of kiwifruits during hot air and microwave drying. *Journal of Food Engineering*. 48: 169-175.
- [40] Cárcel, J.A., Benedito, J., Rosselló, C., and Mulet, A. 2007. Influence of ultrasound intensity on mass transfer in apple immersed in a sucrose solution. *Journal of Food Engineering*. 78: 472-479.
- [41] Shafiqur Rahman, M. 2007. Handbook of Food Preservation. Boca Raton: CRC Press.
- [42] Bahloul, N., Boudhrioua, N., Kouhila, M., and Kechaou, N. 2009. Effect of convective solar drying on colour, total phenols and radical scavenging activity of olive leaves (*Olea europaea* L.). *International Journal of Food Science and Technology*. 44: 2561-2567.
- [43] Corrêa, P.C., Botelho, F.M., Botelho, S.C.C., Goneli, A.L.D. 2014. Isotermas de sorção de água de frutos de *Coffea canephora*. *Revista Brasileira de Engenharia Agrícola e Ambiental*. 18: 1047-1052.
- [44] Iguaz, A., San Martín, M.B., Maté, J.I., Fernández, T., and Virseda, P. 2003. Modelling effective moisture difusivity of rough rice (Lido cultivar) at low drying temperatures. *Journal of Food Engineering*. 59: 253-258.
- [45] Motevali, A., Younji, S., Amiri Chayjan, R., Aghilinategh, N., and Banakar, A. 2013. Drying kinetics of dill leaves in a convective dryer. *International Agrophysics*. 27: 39-47.
- [46] Erbay, Z., and Icier, F. 2010. Thin-layer drying behaviors of olive leaves (*Olea Europaea* L.). *Journal of Food Process Engineering*. 33: 287-308.
- [47] Cakmak, H., Kumcuoglu, S., and Tavman, S. 2013. Thin Layer Drying of Bay Leaves

- capacity of goldenberry (*Physalis peruviana* L.). Chilean Journal of Agricultural Research. 73: 293-299.
- [60] Šumić, Z., Tepić, A., Vidović, S., Jokić, S., and Malbaša, R. 2013. Optimization of frozen sour cherries vacuum drying process. Food Chemistry. 136: 55-63.
- [61] Chen, X.D. 2008. Food drying fundamentals. West Sussex: Wiley-Blackwell Publishing.
- enzymes in fresh-cut Fuji apples as an alternative to the use of ascorbic acid. Journal of Food Science. 73:S267-S272.
- [57] Arslan, D., and Musa Özcan, M. 2010. Study the effect of sun, oven and microwave drying on quality of onion slices. LWT - Food Science and Technology. 43: 1121-1127.
- [58] Guiné, R.P.F., and Barroca, M.J. 2012. Effect of drying treatments on texture and color of vegetables (pumpkin and green pepper). Food Bioproducts Process. 90: 58-63.
- [59] López, J., Vega-Gálvez, A., Torres, M., Lemus-Mondaca, R., and Quispe-Fuentes, I. 2013. Effect of dehydration temperature on physico-chemical properties and antioxidant

## Determination of Kinetic and Thermodynamic Properties of Dill Leaves during Convective Drying

Nadi, F.<sup>1\*</sup>

1. Young Researchers and Elite Club, Azadshahr Branch, Islamic Azad University, Azdshahr, Iran

(Received: 2017/05/02 Accepted: 2017/07/12)

The design of drying equipment and plants requires the knowledge of accurate kinetic and thermodynamic properties of agricultural products. Furthermore, these properties are important for the calculation of energy requirements in drying process, the properties of adsorbed water, evaluate the microstructure of foodstuff and to study the physical phenomenon that occurs on the food surface. Since there is no report on the thermodynamic properties of dill leaves, the aim of this study was to obtain the drying curves of dill leaves, determination of the activation energy and the thermodynamic properties under different drying temperature. Color characteristic was evaluated as one important indicator of food quality and marketability. Dill leaves were dried in a hot air dryer at four temperatures (50, 60, 70, 80°C) from an initial moisture content 6.185 (kg water/kg dry matter) to the moisture content 0.075 (kg water/kg dry matter). Midilli model was chosen as the best model to describe the drying process of dill leaves. The effective diffusion coefficient of dill leaves increased with increasing drying temperature. The activation energy for leaves drying for liquid diffusion was obtained 42.29 kJ mol<sup>-1</sup>. The enthalpy and entropy decreased with increasing temperature, while Gibbs free energy increased. Their values ranged between 39.35 and 39.60 kJ mol<sup>-1</sup>, between -0.3079 and -0.2927 kJ mol<sup>-1</sup> K<sup>-1</sup> and between 138.96 and 143.46 kJ mol<sup>-1</sup> for enthalpy, entropy and Gibbs free energy, respectively. Results of color parameters showed that drying caused a decrease in brightness, yellowness and greenness and the lowest loss of color was observed in 60°C.

**Key words:** Thermodynamic properties, Convective drying, Enthalpy, Entropy, Gibbs free energy, Color change, Dill leaves.

---

\* Corresponding Author E-Mail Address: F.nadi@iauaz.ac.ir